

Starkniederschlagshöhen und -spenden gemäß KOSTRA-DWD-2010R

Auswertungszeitraum von 1951 - 2010, Januar - Dezember

Rasterfeld: 98042

Zeile: 98

Spalte: 42

Seite: 1/2

| Dauerstufe D | Wiederkehrzeit T | | | | | | | | | | | | | | | | | | |
|--------------|------------------|------|------------|-------|------------|-------|------------|-------|------------|-------|------------|-------|------------|-------|------------|-------|------------|-------|------------|
| | 1 a | | 2 a | | 3 a | | 5 a | | 10 a | | 20 a | | 30 a | | 50 a | | 100 a | | |
| min | Std | mm | l / (s ha) | mm | l / (s ha) | mm | l / (s ha) | mm | l / (s ha) | mm | l / (s ha) | mm | l / (s ha) | mm | l / (s ha) | mm | l / (s ha) | mm | l / (s ha) |
| 5 | | 5,5 | 183,3 | 7,6 | 253,3 | 8,8 | 293,3 | 10,3 | 343,3 | 12,4 | 413,3 | 14,4 | 480,0 | 15,6 | 520,0 | 17,2 | 573,3 | 19,2 | 640,0 |
| 10 | | 9,2 | 153,3 | 11,9 | 198,3 | 13,5 | 225,0 | 15,6 | 260,0 | 18,3 | 305,0 | 21,1 | 351,7 | 22,7 | 378,3 | 24,7 | 411,7 | 27,4 | 456,7 |
| 15 | | 11,8 | 131,1 | 15,1 | 167,8 | 17,0 | 188,9 | 19,3 | 214,4 | 22,6 | 251,1 | 25,9 | 287,8 | 27,8 | 308,9 | 30,1 | 334,4 | 33,4 | 371,1 |
| 20 | | 13,8 | 115,0 | 17,4 | 145,0 | 19,6 | 163,3 | 22,3 | 185,8 | 25,9 | 215,8 | 29,6 | 246,7 | 31,7 | 264,2 | 34,4 | 286,7 | 38,1 | 317,5 |
| 30 | | 16,5 | 91,7 | 20,9 | 116,1 | 23,4 | 130,0 | 26,6 | 147,8 | 30,9 | 171,7 | 35,3 | 196,1 | 37,8 | 210,0 | 41,0 | 227,8 | 45,3 | 251,7 |
| 45 | | 19,1 | 70,7 | 24,2 | 89,6 | 27,2 | 100,7 | 31,0 | 114,8 | 36,1 | 133,7 | 41,2 | 152,6 | 44,2 | 163,7 | 48,0 | 177,8 | 53,1 | 196,7 |
| 60 | | 20,7 | 57,5 | 26,5 | 73,6 | 29,8 | 82,8 | 34,1 | 94,7 | 39,8 | 110,6 | 45,6 | 126,7 | 49,0 | 136,1 | 53,2 | 147,8 | 59,0 | 163,9 |
| 90 | | 23,6 | 43,7 | 30,1 | 55,7 | 33,8 | 62,6 | 38,6 | 71,5 | 45,1 | 83,5 | 51,5 | 95,4 | 55,3 | 102,4 | 60,1 | 111,3 | 66,5 | 123,1 |
| 120 | 2 | 25,9 | 36,0 | 32,9 | 45,7 | 37,0 | 51,4 | 42,2 | 58,6 | 49,2 | 68,3 | 56,2 | 78,1 | 60,3 | 83,8 | 65,4 | 90,8 | 72,4 | 100,6 |
| 180 | 3 | 29,5 | 27,3 | 37,4 | 34,6 | 42,0 | 38,9 | 47,8 | 44,3 | 55,6 | 51,5 | 63,5 | 58,8 | 68,0 | 63,0 | 73,8 | 68,3 | 81,7 | 75,6 |
| 240 | 4 | 32,4 | 22,5 | 40,9 | 28,4 | 45,9 | 31,9 | 52,2 | 36,3 | 60,7 | 42,2 | 69,2 | 48,1 | 74,2 | 51,5 | 80,4 | 55,8 | 89,0 | 61,8 |
| 360 | 6 | 37,0 | 17,1 | 46,5 | 21,5 | 52,1 | 24,1 | 59,1 | 27,4 | 68,6 | 31,8 | 78,2 | 36,2 | 83,8 | 38,8 | 90,8 | 42,0 | 100,3 | 46,4 |
| 540 | 9 | 42,2 | 13,0 | 52,8 | 16,3 | 59,1 | 18,2 | 67,0 | 20,7 | 77,6 | 24,0 | 88,3 | 27,3 | 94,6 | 29,2 | 102,5 | 31,6 | 113,1 | 34,9 |
| 720 | 12 | 46,3 | 10,7 | 57,8 | 13,4 | 64,6 | 15,0 | 73,2 | 16,9 | 84,7 | 19,6 | 96,3 | 22,3 | 103,1 | 23,9 | 111,6 | 25,8 | 123,2 | 28,5 |
| 1080 | 18 | 52,8 | 8,1 | 65,7 | 10,1 | 73,3 | 11,3 | 82,9 | 12,8 | 95,9 | 14,8 | 108,9 | 16,8 | 116,4 | 18,0 | 126,0 | 19,4 | 139,0 | 21,5 |
| 1440 | 24 | 57,9 | 6,7 | 72,0 | 8,3 | 80,2 | 9,3 | 90,6 | 10,5 | 104,6 | 12,1 | 118,7 | 13,7 | 127,0 | 14,7 | 137,3 | 15,9 | 151,4 | 17,5 |
| 2880 | 48 | 73,5 | 4,3 | 88,7 | 5,1 | 97,5 | 5,6 | 108,7 | 6,3 | 123,9 | 7,2 | 139,0 | 8,0 | 147,9 | 8,6 | 159,1 | 9,2 | 174,3 | 10,1 |
| 4320 | 72 | 84,5 | 3,3 | 100,3 | 3,9 | 109,5 | 4,2 | 121,2 | 4,7 | 137,0 | 5,3 | 152,8 | 5,9 | 162,0 | 6,3 | 173,7 | 6,7 | 189,5 | 7,3 |

Angaben in mm: Bemessungsniederschlagswerte h(n)

Angaben in l / (s ha): Regenspende R(n) mit $R(n) = h(n) \times 1,666667 / D[\text{min}]$

Toleranzbereiche:

+/- 10 % für $1 a \leq T \leq 5 a$

+/- 15 % für $5 a < T \leq 50 a$

+/- 20 % für $50 a < T \leq 100 a$

Datenbasis: KOSTRA-DWD-2010R des Deutschen Wetterdienstes. Die Regenspende wurde auf Basis des Bemessungsniederschlags zur jeweiligen Andauer berechnet.

Für die Richtigkeit und Aktualität der Angaben wird keine Gewähr übernommen. Erstellt 07/2022.

Starkniederschlagshöhen und -spenden gemäß KOSTRA-DWD-2010R

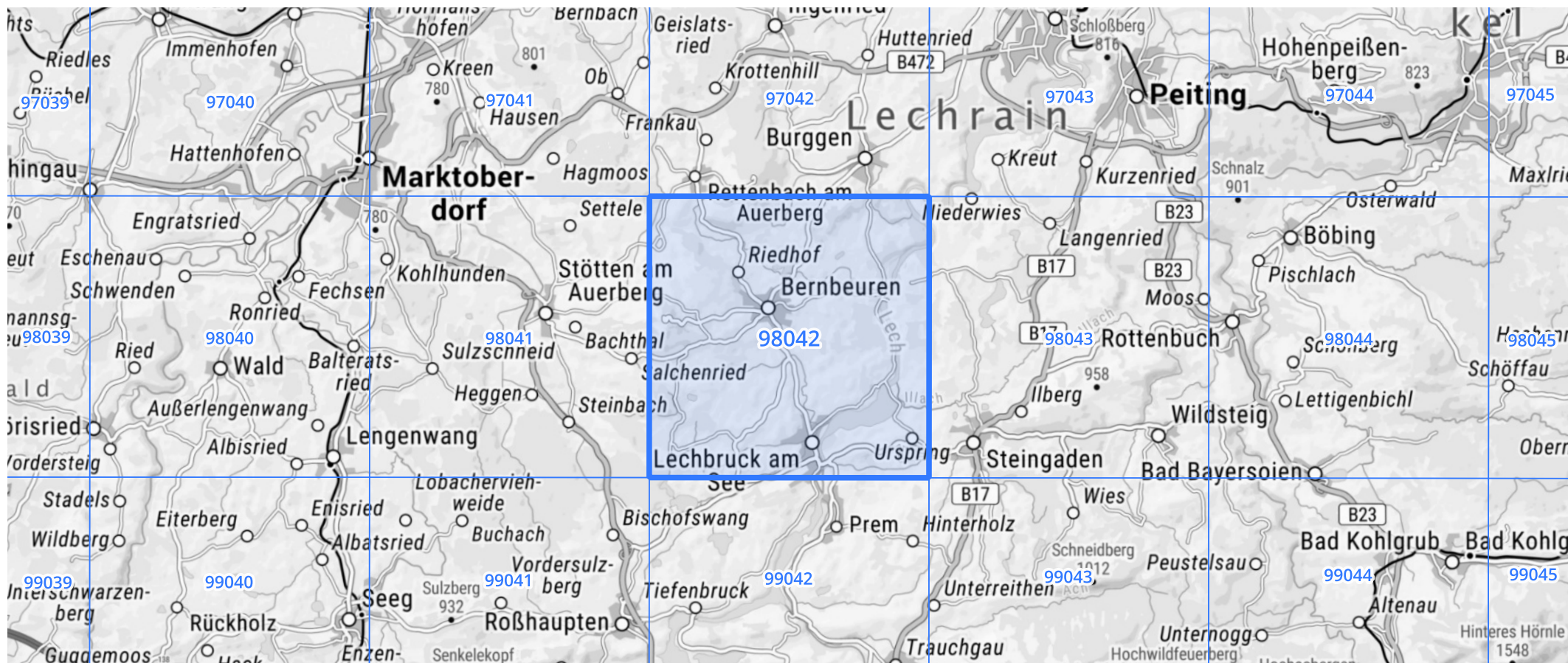
Auswertungszeitraum von 1951 - 2010, Januar - Dezember

Rasterfeld: 98042

Zeile: 98

Spalte: 42

Seite: 2/2



Quelle Rasterdaten: KOSTRA-DWD-2010R des Deutschen Wetterdienstes.

Kartendarstellung: © Bundesamt für Kartographie und Geodäsie (2022), Datenquellen: https://sgx.geodatenzentrum.de/web_public/gdz/datenquellen/Datenquellen_TopPlusOpen.html

Für die Richtigkeit und Aktualität der Angaben wird keine Gewähr übernommen. Erstellt 07/2022.